

# ЧИСЛЕННЫЕ МЕТОДЫ КОМПЬЮТЕРНОЙ ОПТИКИ

## РЕШЕНИЕ УРАВНЕНИЙ МАКСВЕЛЛА В ПРОСТРАНСТВЕННО-ЧАСТОТНОМ ПРЕДСТАВЛЕНИИ

С.Г. Волотовский, П.Г. Серафимович, С.И. Харитонов

Институт систем обработки изображений РАН, Самарский государственный аэрокосмический университет

### 1. Введение

В последнее время большое внимание уделяется методам расчета дифракционных оптических элементов в рамках строгой электромагнитной теории. Применение различных разностных схем к решению системы уравнений Максвелла [1] требует значительных вычислительных ресурсов. Это не позволяет рассчитывать дифракционные оптические элементы, апертура которых составляет больше двух-трех длин волн. В данной работе предложен метод решения системы уравнений Максвелла для случая дифракции плоской электромагнитной волны на дифракционном оптическом элементе, представляющем тонкую пластинку с нанесенным на нее микрорельефом. Расчет проводится в рамках строгой электромагнитной теории. Метод основан на приведении исходной системы уравнений Максвелла к системе интегро-дифференциальных уравнений. Приведены результаты расчета электромагнитного поля для случая прохождения плоской электромагнитной волны через бинарную линзу Френеля.

### 2. Постановка задачи

Рассмотрим прямую задачу дифракции (рис.1).

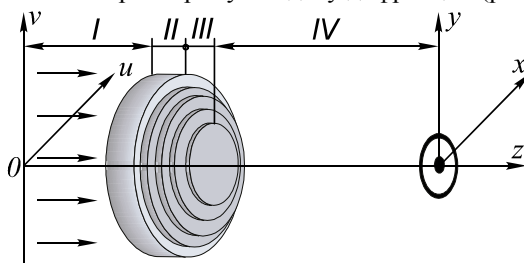


Рис.1. Оптическая схема

Пусть освещдающий пучок с заданными значениями векторов электрического и магнитного поля  $\vec{E}, \vec{H}$  падает на дифракционный оптический элемент. Необходимо найти значение векторов электрического и магнитного поля в области регистратора. Анализируя оптическую схему, можно выделить несколько областей.

1. Область между источником и дифракционным оптическим элементом.
2. Область подложки.
3. Область модуляции.

### 4. Область после области модуляции.

В операторной записи система уравнений Максвелла имеет вид [1]

$$\partial_z \mathbf{W} = \mathbf{HW}, \quad (1)$$

где  $\mathbf{W}$  - матрица-столбец из 4-х компонент

$$\mathbf{W} = \begin{pmatrix} E_x \\ E_y \\ H_x \\ H_y \end{pmatrix}, \quad \mathbf{H} - \text{блочно-матричный дифференциаль-}$$

ный оператор:

$$\mathbf{H} = \begin{pmatrix} 0 & \mathbf{A} \\ \mathbf{B} & 0 \end{pmatrix},$$

$$\mathbf{A} = \frac{i}{k} \begin{pmatrix} \partial_x & 0 \\ 0 & \partial_y \end{pmatrix} \begin{pmatrix} \varepsilon^{-1} & 0 \\ 0 & \varepsilon^{-1} \end{pmatrix} \begin{pmatrix} -\partial_y & \partial_x \\ -\partial_y & \partial_x \end{pmatrix} + \\ + ik \begin{pmatrix} 0 & 1 \\ -1 & 0 \end{pmatrix},$$

$$\mathbf{B} = \frac{1}{ik} \begin{pmatrix} \partial_x & 0 \\ 0 & \partial_y \end{pmatrix} \begin{pmatrix} -\partial_y & \partial_x \\ -\partial_y & \partial_x \end{pmatrix} + \\ + ik \begin{pmatrix} \varepsilon & 0 \\ 0 & \varepsilon \end{pmatrix} \begin{pmatrix} 0 & -1 \\ 1 & 0 \end{pmatrix}. \quad (2)$$

Представим решение в виде разложения в интеграл Фурье

$$\mathbf{W}(x, y, z) = \int_{-\infty}^{\infty} \mathbf{W}(\alpha, \beta, z) \exp(ik(\alpha x + \beta y)) d\alpha d\beta, \quad (3)$$

$$\varepsilon(x, y, z) =$$

$$= \int_{-\infty}^{\infty} \varepsilon(\alpha, \beta, z) \exp(ik(\alpha x + \beta y)) d\alpha d\beta.$$

Подставляя (3) в (1) получаем систему интегро-дифференциальных уравнений

$$\partial_z \mathbf{W}(\alpha, \beta, z) = \mathbf{H}(\alpha, \beta, z) \mathbf{W}(\alpha, \beta, z),$$

$$\mathbf{H}(\alpha, \beta, z) = \begin{pmatrix} 0 & \mathbf{A}(\alpha, \beta, z) \\ \mathbf{B}(\alpha, \beta, z) & 0 \end{pmatrix}, \quad (4)$$

где двумерные матричные операторы действуют на двумерные матрицы столбцы по формулам

$$\begin{aligned} \mathbf{A}(\alpha, \beta) &= \begin{pmatrix} \varphi \\ \psi \end{pmatrix} = -ik \begin{pmatrix} \alpha & 0 \\ 0 & \beta \end{pmatrix} \times \\ &\times \int_{-\infty}^{\infty} \varepsilon^{-1}(\alpha - \omega_x, \beta - \omega_y, z) \begin{pmatrix} -\omega_y & \omega_x \\ -\omega_y & \omega_x \end{pmatrix} \times \\ &\times \begin{pmatrix} \varphi(\omega_x, \omega_y, z) \\ \psi(\omega_x, \omega_y, z) \end{pmatrix} d\omega_x d\omega_y + ik \begin{pmatrix} 0 & 1 \\ -1 & 0 \end{pmatrix} \begin{pmatrix} \varphi \\ \psi \end{pmatrix}, \\ \mathbf{B}(\alpha, \beta) &= \begin{pmatrix} \varphi \\ \psi \end{pmatrix} = ik \begin{pmatrix} \alpha & 0 \\ 0 & \beta \end{pmatrix} \begin{pmatrix} -\beta & \alpha \\ -\beta & \alpha \end{pmatrix} \begin{pmatrix} \varphi \\ \psi \end{pmatrix} + \\ &+ ik \int_{-\infty}^{\infty} \varepsilon(\alpha - \omega_x, \beta - \omega_y) \begin{pmatrix} 0 & -1 \\ 1 & 0 \end{pmatrix} \times \\ &\times \begin{pmatrix} \varphi(\omega_x, \omega_y) \\ \psi(\omega_x, \omega_y) \end{pmatrix} d\omega_x d\omega_y. \end{aligned} \quad (5)$$

Поле в первой зоне представляет собой суперпозицию падающего и отраженного полей, частотные компоненты которых имеют вид

$$\begin{aligned} \mathbf{W}(\alpha, \beta, z) &= (I^e(\alpha, \beta) \mathbf{W}^{-e}(\alpha, \beta) + \\ &+ I^h(\alpha, \beta) \mathbf{W}^{-h}(\alpha, \beta)) \times \\ &\times \exp(-ik\sqrt{1-\alpha^2-\beta^2}z) + \\ &+ (R^e(\alpha, \beta) \mathbf{W}^{+e}(\alpha, \beta) + \\ &+ R^h(\alpha, \beta) \mathbf{W}^{+h}(\alpha, \beta)) \times \\ &\times \exp(ik\sqrt{1-\alpha^2-\beta^2}z) \end{aligned} \quad (6)$$

Поле в третьей зоне (рис 3.6) за оптическим элементом имеет вид

$$\begin{aligned} \mathbf{W}(\alpha, \beta, z) &= (T^e(\alpha, \beta) \mathbf{W}^{-e}(\alpha, \beta) + \\ &+ T^h(\alpha, \beta) \mathbf{W}^{-h}(\alpha, \beta)) \times \\ &\times \exp(-ik\sqrt{1-\alpha^2-\beta^2}z) \end{aligned} \quad (7)$$

$$\mathbf{W}^{\pm e}(\alpha, \beta) = \begin{pmatrix} \mp\sqrt{1-\alpha^2-\beta^2}\alpha \\ \mp\sqrt{1-\alpha^2-\beta^2}\beta \\ \beta \\ -\alpha \end{pmatrix} \| W \|^{-1},$$

$$\mathbf{W}^{\pm h}(\alpha, \beta) = \begin{pmatrix} -\beta \\ \alpha \\ \mp\sqrt{1-\alpha^2-\beta^2}\alpha \\ \mp\sqrt{1-\alpha^2-\beta^2}\beta \end{pmatrix} \| W \|^{-1},$$

$$\| W \| = \sqrt{(2-\alpha^2-\beta^2)(\alpha^2+\beta^2)}.$$

Частотные компоненты в областях 3 и 4 удовлетворяют системе интегро-дифференциальных уравнений (4).

### 3. Метод расчета

Рассмотрим метод решения системы (4). Вместо непрерывных функций введем их значения в точках

$$\begin{aligned} \alpha_n &= \alpha_0 + \frac{\lambda n}{d_x}, \quad \beta_m = \beta_0 + \frac{\lambda m}{d_y}; \\ \mathbf{W}^{\pm e}_{nm} &= \mathbf{W}^{\pm e}(\alpha_n, \beta_m), \\ \mathbf{W}^{\pm h}_{nm} &= \mathbf{W}^{\pm h}(\alpha_n, \beta_m), \\ I^e_{nm} &= I^e(\alpha_n, \beta_m) \lambda^2 / (d_x d_y), \\ I^h_{nm} &= I^h(\alpha_n, \beta_m) \lambda^2 / (d_x d_y), \\ R^e_{nm} &= R^e(\alpha_n, \beta_m) \lambda^2 / (d_x d_y), \\ R^h_{nm} &= R^h(\alpha_n, \beta_m) \lambda^2 / (d_x d_y), \\ T^e_{nm} &= T^e(\alpha_n, \beta_m) \lambda^2 / (d_x d_y), \\ T^h_{nm} &= T^h(\alpha_n, \beta_m) \lambda^2 / (d_x d_y). \end{aligned} \quad (8)$$

Поле в области 1 имеет вид

$$\begin{aligned} \mathbf{W}(x, y, z) &= \sum_{nm} (I^e_{nm} \mathbf{W}^{-e}_{nm} + I^h_{nm} \mathbf{W}^{-h}_{nm}) \times \\ &\times \exp(-ik\sqrt{1-\alpha_n^2-\beta_m^2}z + ik(\alpha_n x + \beta_m y)) + \\ &\sum_{nm} (R^e_{nm} \mathbf{W}^{+e}_{nm} + R^h_{nm} \mathbf{W}^{+h}_{nm}) \times \\ &\times \exp(ik\sqrt{1-\alpha_n^2-\beta_m^2}z + ik(\alpha_n x + \beta_m y)) \end{aligned}$$

Поле в области 4 имеет вид

$$\begin{aligned} \mathbf{W}(x, y, z) &= \sum_{nm} (T^e_{nm} \mathbf{W}^{-e}_{nm} + T^h_{nm} \mathbf{W}^{-h}_{nm}) \times \\ &\times \exp(-ik\sqrt{1-\alpha_n^2-\beta_m^2}z + ik(\alpha_n x + \beta_m y)). \end{aligned}$$

Поле в зоне модуляции удовлетворяет системе дифференциальных уравнений первого порядка относительно функций  $\mathbf{W}_{nm}(z)$ :

$$\begin{aligned} \partial_z \mathbf{W}_{nm}(z) &= \sum_{sk} \mathbf{H}_{nm,sk}(z) \mathbf{W}_{sk}(z), \\ \mathbf{H}_{nm,sk}(z) &= \begin{pmatrix} 0 & \mathbf{A}_{nm,sk}(z) \\ \mathbf{B}_{nm,sk}(z) & 0 \end{pmatrix}, \end{aligned} \quad (9)$$

где двумерные матричные операторы действуют на двумерные матрицы-столбцы по формулам, следующим из уравнений (5)

$$\begin{aligned} \mathbf{A}_{nm,sk} &= \begin{pmatrix} \varphi_{sk}(z) \\ \psi_{sk}(z) \end{pmatrix} = -ik \begin{pmatrix} \alpha_n & 0 \\ 0 & \beta_m \end{pmatrix} \varepsilon^{-1}{}_{n-s,m-k} \times \\ &\times \begin{pmatrix} -\beta_k & \alpha_s \\ -\beta_k & \alpha_s \end{pmatrix} \begin{pmatrix} \varphi_{sk}(z) \\ \psi_{sk}(z) \end{pmatrix} + \\ &+ ik \delta_{ns,mk} \begin{pmatrix} 0 & 1 \\ -1 & 0 \end{pmatrix} \begin{pmatrix} \varphi_{sk}(z) \\ \psi_{sk}(z) \end{pmatrix}, \end{aligned}$$

$$\begin{aligned} \mathbf{B}_{nm,sk} \begin{pmatrix} \varphi_{sk}(z) \\ \psi_{sk}(z) \end{pmatrix} &= ik \begin{pmatrix} \alpha_n & 0 \\ 0 & \beta_m \end{pmatrix} \delta_{nm,sk} \times \\ &\times \begin{pmatrix} -\beta_k & \alpha_s \\ -\beta_k & \alpha_s \end{pmatrix} \begin{pmatrix} \varphi_{sk} \\ \psi_{sk} \end{pmatrix} + \\ &+ ik \varepsilon_{n-s,m-k} \begin{pmatrix} 0 & -1 \\ 1 & 0 \end{pmatrix} \begin{pmatrix} \varphi_{sk}(z) \\ \psi_{sk}(z) \end{pmatrix}. \end{aligned} \quad (10)$$

Данная система обыкновенных дифференциальных уравнений получается путем дискретизации исходной системы интегро-дифференциальных уравнений.

Совокупность решений системы уравнений с различными индексами удобно объединить в блочную квадратную матрицу  $\bar{\mathbf{W}}$ . Элементами этой блочной матрицы являются четырехкомпонентные матрицы столбцы.

Пусть  $\bar{\mathbf{W}}^e_{nm}(z)$ ,  $\bar{\mathbf{W}}^h_{nm}(z)$  - решения системы уравнений (10) с начальными условиями  $\mathbf{W}^{-e}_{nm}(0)$  и  $\mathbf{W}^{-h}_{nm}(0)$ , где  $\mathbf{W}^{-e}_{nm}(0)$  или  $\mathbf{W}^{-h}_{nm}(0)$  представляет собой блочную квадратную матрицу, у которой отличен от нуля только элемент, стоящий на пересечении  $m$ -ной строки  $n$ -того столбца. Этот элемент равен четырехкомпонентному столбцу  $\mathbf{W}^{-e}_{nm}$  или  $\mathbf{W}^{-h}_{nm}$  (не следует путать обозначения  $\mathbf{W}^{-e}_{nm}(0)$ ,  $\mathbf{W}^{-h}_{nm}(0)$  и  $\mathbf{W}^{-e}_{nm}$  или  $\mathbf{W}^{-h}_{nm}$ ).

Условие непрерывности пространственно-частотных компонент при  $z=a$  имеет вид

$$\begin{aligned} \sum_{mn} \left( T^e_{nm} \mathbf{W}^{-e}_{nm}(a) + T^h_{nm} \mathbf{W}^{-h}_{nm}(a) \right) &= \\ = \sum_{mn} \left( I^e_{nm} \mathbf{W}^{-e}_{nm}(0) + I^h_{nm} \mathbf{W}^{-h}_{nm}(0) \right) &\times \\ \times \exp \left( -ik \sqrt{1 - \alpha_n^2 - \beta_m^2} a \right) + & \\ + \sum_{mn} \left( R^e_{nm} \mathbf{W}^{+e}_{nm} + R^h_{nm} \mathbf{W}^{+h}_{nm}(0) \right) &\times \\ \times \exp \left( ik \sqrt{1 - \alpha_n^2 - \beta_m^2} a \right). & \end{aligned} \quad (11)$$

Последнее выражение представляет собой систему линейных уравнений для определения коэффициентов пропускания и отражения.

#### 4. Реализация вычислений

Для того, чтобы получить систему линейных уравнений (11), необходимо многократно решить систему дифференциальных уравнений (9) с различными начальными условиями. Это позволяет использовать технику параллельных вычислений. В данном случае для организации параллельных вычислений был использован подход, состоящей в том, что система уравнений (9) для различных начальных условий решалась на различных компьютерах, входящих в кластер. Приводимые ниже результаты были получены с использованием кластера, состояще-

го из 4 двухпроцессорных компьютеров PENTIUM-II с частотой 450 МГц.

Для решения системы дифференциальных уравнений использовались методы матричной экспоненты в одномерном случае и Рунге-Кутта в двумерном [3-5].

#### 5. Апробация метода (бинарная линза)

В качестве примера был выбран расчет поля от бинарной цилиндрической линзы, рассчитанной на освещение наклонным пучком. В этом случае можно провести сравнение с аналитическим решением. Данный метод был реализован также и для двумерного варианта. Оптическая схема для одномерного случая приведена на рис 2.

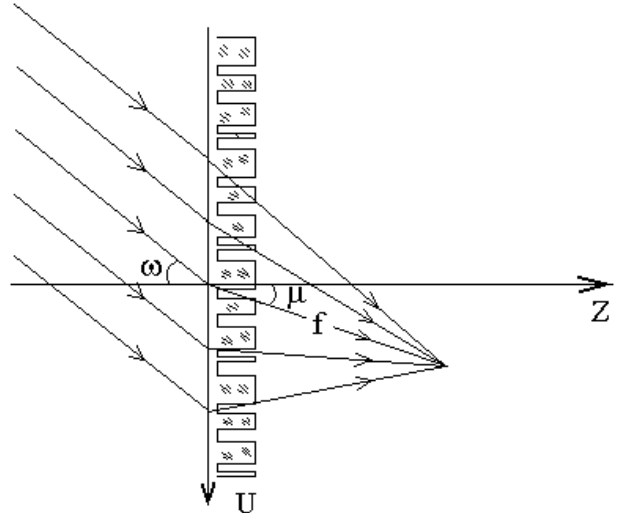


Рис.2. Оптическая схема для одномерного случая.

На рис.3 приведены результаты расчета профиля бинарной цилиндрической линзы (а, в, д) и вектора Умова-Пойтинга (б, г, е) в фокальной плоскости для TE-поляризации при различных углах падения  $\omega$  и преломления  $\mu$ . Пунктиром показано точное решение задачи дифракции на цилиндрической линзе, полученное аналитически [2] в скалярном приближении. Длина волны света  $\lambda$  составляла 1 мкм, размер апертуры  $d = 64$  мкм, фокусное расстояние  $f = 64$  мкм, глубина рельефа  $h = \lambda/(n-1)$ , где  $n$  - показатель преломления материала, принятый равным 1.5.

Для двумерного случая оптическая схема приведена на рис 1. На рис 4, 5 приведены результаты расчета проекции вектора Умова-Пойтинга на оптическую ось для дифракции плоской электромагнитной волны на радиально-симметричной бинарной линзе в различных плоскостях. При расчете были использованы следующие параметры: радиус апертуры  $R = 4,82\lambda$ , фокусное расстояние  $f = 4,82\lambda$ . При этом на рисунках 4а, 4в, 4д, 4ж и 5а черный цвет соответствует максимальному значению.

Отметим, что решение одной двумерной задачи занимало около 2 часов на кластере с описанной выше конфигурацией.

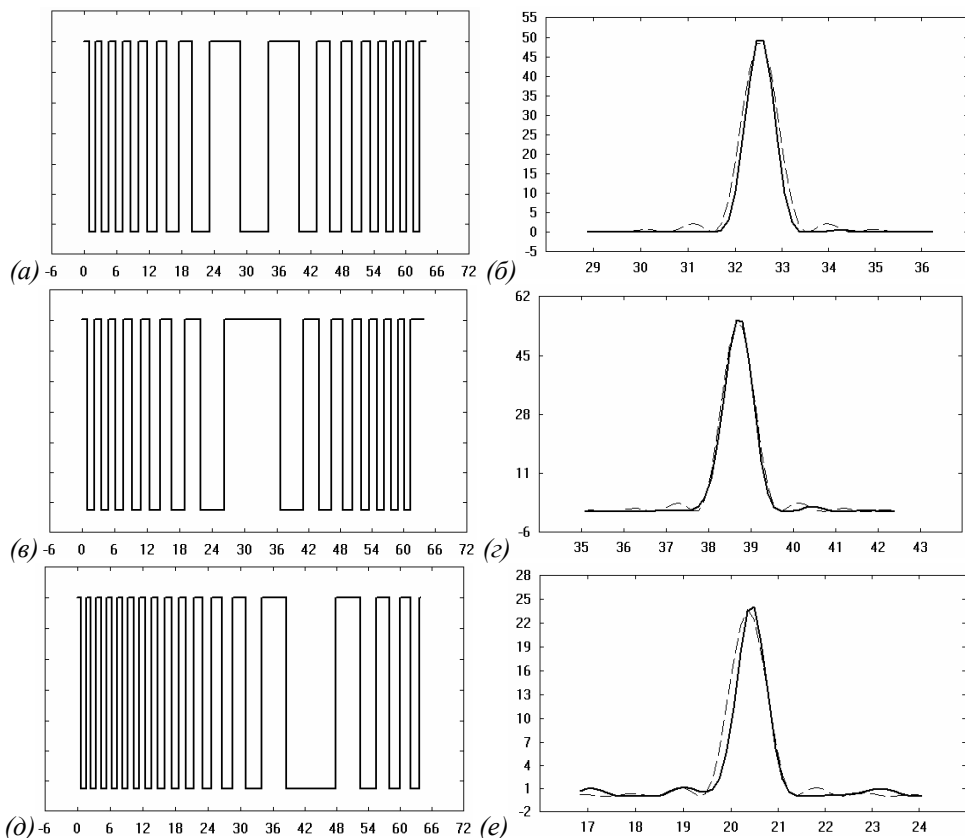
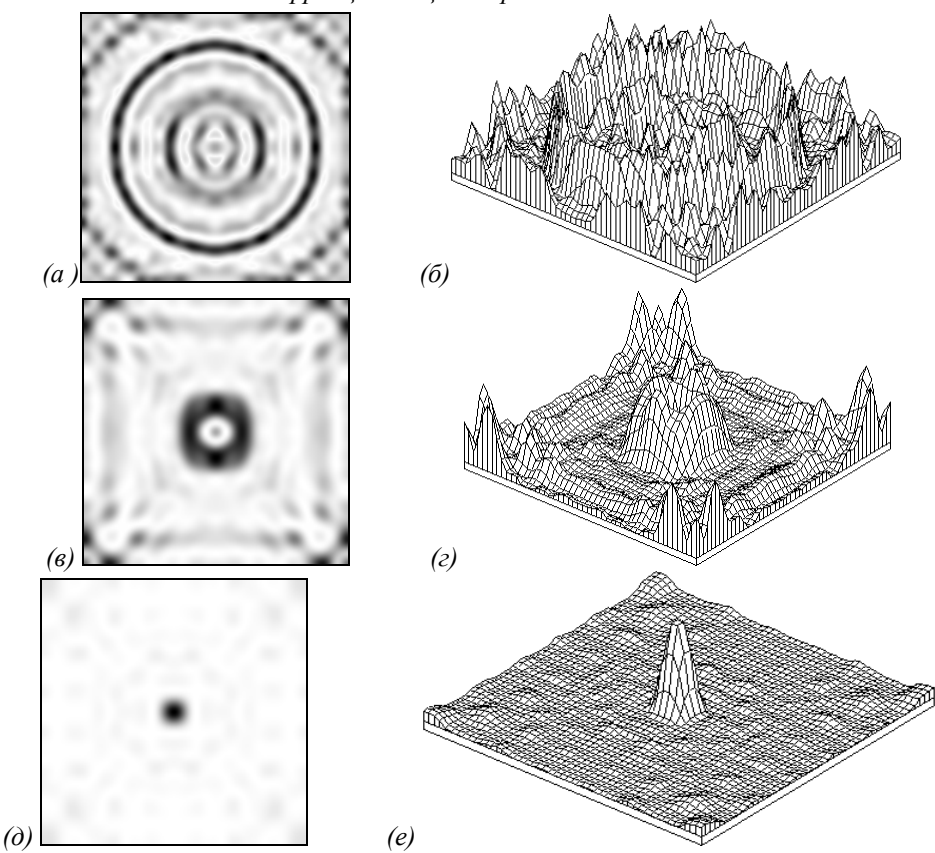


Рис.3. Результаты расчета профиля (а, в, д) бинарной цилиндрической линзы и вектора Умова-Пойнтинга (б, г, е) в фокальной плоскости для TE -поляризации при различных углах падения  $\omega$  и преломления  $\mu$ : вариант  $\omega = 0^\circ$  и  $\mu = 0^\circ$  (а, б),  $\omega = 5^\circ$ ,  $\mu = 5^\circ$  (в, г)  $\omega = 0^\circ$ ,  $\mu = 10.5^\circ$  (д, е); пунктиром показано точное решение задачи дифракции на цилиндрической линзе.



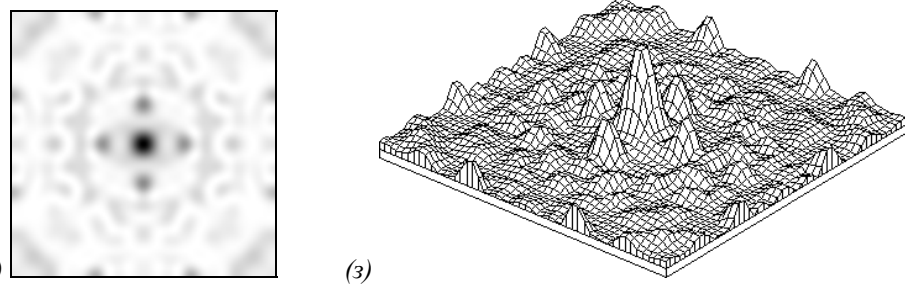


Рис.4. Результаты расчета проекции вектора Умова-Пойтинга на оптическую ось для дифракции плоской электромагнитной волны на радиально-симметричной бинарной линзе в плоскости  $z = 0$  (а,б), в плоскости  $z = f/2$  (в,г), в плоскости  $z = f$  (д,е), в плоскости  $z = 3f/2$  (ж,з).

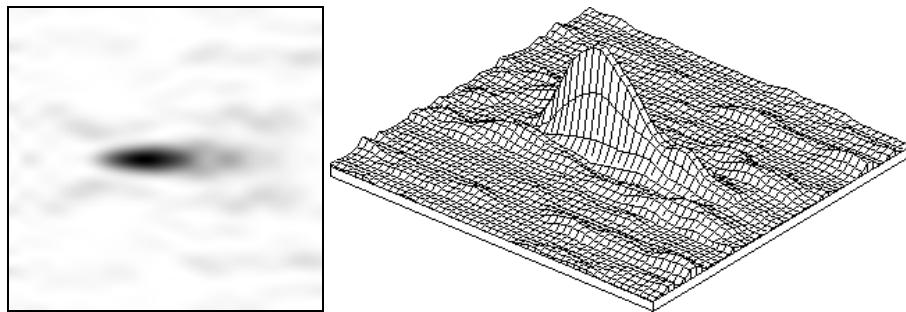


Рис.5. Результаты расчета проекции вектора Умова-Пойтинга на оптическую ось для дифракции плоской электромагнитной волны на радиально-симметричной бинарной линзе в плоскости  $zx$ .

## 6. Заключение

Приведенные выше результаты численных расчетов показывают работоспособность предложенного алгоритма. Разработанный метод снижает требования к вычислительным ресурсам по сравнению с многомерными разностными методами. Контроль правильности решения проводился с помощью закона сохранения энергии, записанного в пространственно-частотном представлении:

$$Eff = \sum (\tilde{R}_{nm}^e + \tilde{R}_{nm}^{eh} + \tilde{T}_{nm}^e + \tilde{T}_{nm}^{eh}) = 1$$

$$\tilde{R}_{nm}^{eh} = \left| R_{nm}^{eh} \right|^2 \times \\ \times \frac{\sqrt{1 - \alpha_m^2 - \beta_m^2}}{2 - \alpha_m^2 - \beta_m^2} \frac{2 - \alpha_0^2 - \beta_0^2}{\sqrt{1 - \alpha_0^2 - \beta_0^2}}$$

$$\tilde{T}_{nm}^{eh} = \left| T_{nm}^{eh} \right|^2 \times \\ \times \frac{\sqrt{1 - \alpha_m^2 - \beta_m^2}}{2 - \alpha_m^2 - \beta_m^2} \frac{2 - \alpha_0^2 - \beta_0^2}{\sqrt{1 - \alpha_0^2 - \beta_0^2}}$$

Результаты численного моделирования признавались истинными, если  $|Eff - 1| < 0.001$

Анализ полученных результатов показывает, что максимум интенсивности в фокусе для исследованных параметров линзы, примерно в четыре раза меньше значения, рассчитанного в скалярном параксиальном приближении Кирхгофа.

Однако, несмотря на это бинарная линза сохраняет свои фокусирующие свойства. Следует отметить, что в отличии от скалярной теории, фокальное пятно имеет слегка вытянутую форму. Это объясняется тем, что в рамках электромагнитной теории не существует радиально-симметричных решений даже в случае дифракции плоской волны на радиально-симметричном объекте. Радиальная симметрия нарушается наличием поляризации у падающей электромагнитной волны.

## Литература

- Методы компьютерной оптики./ под ред. Сойфера В.А. М., Физматлит, 2000 г, 688 с.
- Борн М., Вольф Э. Основы Оптики. М., Наука. 1973 г.
- Березин И.С., Жидков Н.П. Методы вычислений. М., ГИФМЛ, 1962 г.
- Хемминг Р.В. Численные методы. (Пер. с англ.) М., Наука, 1972 г.
- Годунов С.К., Рябенький В.С. Разностные схемы. М., Наука, 1973 г.